

مطالعه‌ی تجربی کاربرد سیستم کنترلی غیرفعال TMD در کاهش ارتعاشات ساختمان‌ها در برابر زلزله*

«یادداشت پژوهشی»

سعید پورزینلی^(۱) نصرت‌اله فلاح^(۲) موسی اکبری آقبلاغ^(۳)

چکیده در این تحقیق، ابتدا مشخصات سازه‌ای مدل سه بعدی یک ساختمان اسکلت فلزی چهار طبقه با مقیاس ۱:۱۲ از چندین روش تعیین می‌گردد. اندازه‌گیری میرایی‌های مودال و اشکال مودی بروش جاروی فرکانسی صورت می‌گیرد و مقادیر بهینه‌ی پارامترهای مختلف TMD با استفاده از روش آزمون و خطا به دست می‌آید. سپس، TMD مربوط ساخته شده و در تراز بام نصب می‌شود و سازه تحت تحریک هارمونیک پایه بر روی میز لرزه مورد آزمایش قرار می‌گیرد. اندازه‌گیری‌های آزمایشگاهی حاکی از عملکرد بسیار مناسب سیستم کنترلی طراحی شده در تحریک‌های هارمونیک پایه، با فرکانسی برابر با فرکانس غالب سازه‌ی اصلی می‌باشد. برای بررسی عملکرد سیستم کنترلی بهینه شده برای تحریک غیر هارمونیک پایه، پاسخ سیستم تحت تحریک ۲۳ زلزله‌ی داخلی و خارجی با محتوای فرکانسی متفاوت، به صورت تحلیلی نیز محاسبه شده است.

واژه‌های کلیدی سیستم کنترلی میراگر جرمی همساز (TMD)، تحریک لرزه‌ای، مطالعه‌ی تجربی، تحریک هارمونیک پایه.

Experimental Analysis of the TMD Control of Building Vibrations against Earthquake Excitations

S.Pourzeynali

N. Fallah

M. Akbari A.

Abstract Basic dynamic characteristics of a 1:12 scaled experimental model of a 4 stories 3-D steel frame are obtained using different methods. The frequency sweep method is used to calculate the modal damping ratio and mode shapes of the frame. The optimal values of the TMD different parameters are evaluated using try and error method. Then the associated TMD system is constructed and installed on the top story and the model is tested under support harmonic excitation. The experimentally measured results of the model frame under resonant harmonic support excitations show the significant effectiveness of the proposed TMD system in reducing the model frame response. The above model is also analytically examined under 23 world-wide earthquake accelerograms with different level of frequency content.

Keywords TMD Control, Earthquake excitation, Frequency Content, Harmonic excitation.

* تاریخ دریافت مقاله ۸۹/۹/۱۰ و تاریخ پذیرش آن ۹۱/۷/۱۵ می‌باشد.

(۱) نویسنده‌ی مسئول، دانشیار گروه عمران، دانشکده‌ی فنی و مهندسی، دانشگاه گیلان.

(۲) دانشیار گروه عمران، دانشکده‌ی فنی و مهندسی، دانشگاه گیلان.

(۳) کارشناس ارشد سازه، دانشکده‌ی فنی و مهندسی، دانشگاه گیلان.

مقدمه

در دهه‌های اخیر کاهش پاسخ سازه‌ها تحت تأثیر نیروهای دینامیکی موضوع عنوان بسیاری از تحقیقات شده و تعداد زیادی از مفاهیم کنترل به این منظور در سازه‌ها مورد توجه قرار گرفته است [1]. بطور کلی سیستم‌های کنترل ارتعاشات سازه‌ای را می‌توان به چهار دسته‌ی عمده تقسیم کرد: کنترل غیرفعال، کنترل فعال، کنترل نیمه‌فعال و کنترل مرکب.

کنترل غیرفعال در سازه‌ها بدون صرف هیچ‌گونه انرژی خارجی برای کاهش ارتعاش سازه استفاده می‌شود. جرم و میراگر تنظیم شونده (TMD) یکی از سیستم‌های کنترل غیرفعال می‌باشد که در آن یک جرم m توسط یک فنر و میراگر ویسکوز به سازه ضمیمه می‌شود. به‌طور عمومی فرکانس‌های طبیعی سیستم TMD در نزدیکی یکی از فرکانس‌های طبیعی سازه تنظیم می‌شود که معمولاً این فرکانس، فرکانس موداول سازه می‌باشد. در نتیجه ارتعاش سازه‌ی اصلی به موجب ارتعاش TMD در رزونانس مستهلک می‌شود. هدف از به‌کارگیری یک میراگر جرمی تنظیم شونده در یک سازه کاهش تقاضای اتلاف انرژی در اعضای سازه‌ی اصلی تحت اثر نیروهای خارجی است. در این حالت این کاهش تقاضا توسط انتقال مقداری از انرژی ورودی به میراگر جرمی تنظیم شونده صورت می‌گیرد. از زمان ابداع سیستم TMD تا کنون تحقیقات متعددی در این مورد صورت گرفته و آزمایش‌های ویژه‌ای در امر کنترل ارتعاشات تحت انواع بارها انجام پذیرفته است.

در یکی از این تحقیقات، تسای حل کلاسیک سیستم اولیه‌ی میرا شده را گسترش داد و با استفاده از منحنی‌هایی که بر فرمول‌ها منطبق شده بودند پارامترهای TMD را به‌صورت بهینه به‌دست آورد. دن‌هارتگ و اورماندروید در سال ۱۹۲۸ ابتدا تئوری جاذب‌های دینامیکی ارتعاشی را با و بدون میرایی برای یک سیستم اصلی نامیرا بررسی و اصول

اساسی در روش انتخاب درست پارامترهای جاذب را تعیین کردند [2]. مطالعه بر عملکرد لرزه‌ای TMD ها توسط ویلاورد [3,4]، مارتین [5] و کویوما [6] ادامه پیدا کرد و مشاهده شد که به‌ترین کارایی TMD ها هنگامی است که اولین دو مود سیستم مرکب سازه و میراگر، تقریباً نسبت میرایی یکسانی با متوسط نسبت میرایی سازه و TMD داشته باشد.

سیستم کنترلی TMD با وجود آسانی استفاده و ارزیابی قابل توجه آن، دارای قابلیت اعتماد متوسط است و به خوبی می‌تواند ارتعاشات نامناسب باد و بارهای هارمونیک را کنترل نماید. اما تحت تحریک زلزله، که یک پدیده تصادفی است و کاملاً بستگی به مشخصات حرکت زمین دارد، برای زلزله‌های با پهنای باند باریک و استمرار طولانی نتیجه‌بخش است [7]. سادک برای به‌دست آوردن پارامترهای بهینه TMD برای دستیابی به بیشترین کاهش در پاسخ سازه هنگام تحریک زلزله، ضریبی را برای بهبود پارامترها و روابط ارائه شده توسط ویلاورد پیشنهاد می‌کند که در آن میرایی‌های دو مود اول ارتعاش با هم برابر و هر دو مقداری بزرگ‌تر از میانگین میرایی TMD و میرایی سازه دارند [8].

با توجه به تحقیقات وسیعی که به‌صورت تحلیلی در زمینه‌ی سیستم‌های کنترل صورت گرفته، لزوم انجام تحقیقی آزمایشگاهی که به‌کمک آن بتوان اصول ارائه شده در تئوری برای کنترل لرزه‌ای سازه‌ها را به مرحله‌ی اجرا درآورد و به‌صورت عینی عملکرد آن‌ها را مورد بررسی قرار داد به شدت احساس می‌شود، چرا که محققان بسیاری روش‌های تئوری کنترل سازه‌ها را به‌خوبی پیش برده‌اند اما هنوز این روش‌ها در مرحله‌ی نظری می‌باشند و جای خالی آزمایش‌هایی که بتوانند این دانش را به سمت بخش‌های صنعتی هدایت کند کاملاً محسوس است.

در تحقیق حاضر، به مطالعه‌ی آزمایشگاهی مدل سه بعدی یک قاب چهار طبقه با اسکلت فلزی پرداخته

حالی که $g(t)$ نیروی وارد بر جرم TMD، که برای تحریک باد برابر با صفر و در حالت بارگذاری زمین‌لرزه برابر با $f(t)$ است که $m_0 = m/M$ می‌باشد. حاصل جمع معادلات بالا منجر به عبارت زیر می‌شود:

$$(M + m)\ddot{y}(t) + C\dot{y}(t) + Ky(t) = f(t) + g(t) - m\ddot{z}(t) \quad (3)$$

مطالعه‌ی آزمایشگاهی

انتخاب مدل

به دلیل نیاز به خطی بودن رفتار سازه و با توجه به شرایط اقتصادی، قابلیت انجام کار، نوع مصالح و صورت مسأله‌ی مورد مطالعه، مدلی با مقیاس کوچک (کوچک‌تر از ۱:۴) انتخاب گردید. برای انتخاب تعداد طبقات مدل، با توجه به این‌که در انجام مطالعات تحلیلی، مدل‌سازی صورت گرفته باید معرف خوبی از رفتار مدل واقعی سازه باشد و جواب‌های به دست آمده از مدل ریاضی هم‌خوانی مناسبی با نتایج به دست آمده از آزمایش دینامیکی داشته باشد، لذا لازم است که مدل ساخته شده از عمومیت کافی برخوردار باشد؛ یعنی تمام یا حتی الامکان اکثر متغیرهای مطرح در مسأله را در خود داشته باشد. عموماً متغیرهای مطرح در آزمایش‌های دینامیکی و لرزه‌ای عبارتند از سختی، جرم طبقات، فرکانس، میرایی مودها و اشکال مودی. بنابراین، با افزایش تعداد مودها و یا به عبارت دیگر تعداد طبقات، شرایط مناسب‌تری برای مقایسه بین نتایج تحلیل عددی و نتایج آزمایش فراهم می‌شود. برای رسیدن به این هدف، بهتر است که مدل انتخابی دارای حداقل سه طبقه باشد. علاوه بر آن، همان‌طور که در بخش مقدمه به آن اشاره شد، سیستم کنترل TMD بر سازه‌های با درجه آزادی بالاتر عملکرد بهتری از خود نشان می‌دهد. اما ساخت مدلی با تعداد درجات آزادی انتقالی بالا (تعداد طبقات بیش‌تر)، نیاز به ابزار و امکانات بیش‌تری برای تولید و کنترل نیروهای ارتعاشی دارد هم‌چنین وسایل اندازه‌گیری با

می‌شود که به وسیله‌ی میز لرزه‌ی کوچکی که به این منظور طراحی و ساخته شده است، به صورت هارمونیک تحریک می‌گردد. در ضمن، بررسی لرزه‌ای این قاب تحت اثر شتاب نگاشت زلزله‌های مختلف به صورت نظری و تحلیلی نیز انجام گردیده است. در ادامه، نتایج مطالعات انجام گرفته برای به دست آوردن مشخصات واقعی مدل و پارامترهای بهینه‌ی سیستم، تحت تحریک هارمونیک و هم‌چنین تحت تحریک شتاب‌نگاشت‌های مربوط به ۱۲ زلزله‌ی خارجی و ۱۱ زلزله‌ی داخلی، که با محتوای فرکانسی مختلف انتخاب شده بودند، آمده است. در ضمن، از آنجائی‌که مطالعات عددی و نظری فراوانی در سطح بین‌المللی برای گونه سیستم‌های کنترلی صورت گرفته است، در مقاله‌ی حاضر سعی شده است که به این بخش کم‌تر پرداخته شود. در مقابل، چون نتایج تحقیقات آزمایشگاهی در این مورد در کشور ما کم‌تر منتشر شده است لذا در این مقاله تلاش شده تا بیش‌تر بر مباحث آزمایشگاهی و نتایج آن تأکید گردد.

اصول پایه

شکل (۱) یک سیستم یک درجه آزادی (SDOF) را نشان می‌دهد که یک سیستم TMD نیز بر روی آن نصب شده است. برای سیستم مرکب سازه-TMD معادلات حرکت را می‌توان به شکل زیر نوشت:

$$M\ddot{y}(t) + C\dot{y}(t) + Ky(t) = c\dot{z}(t) + kz(t) + f(t) \quad (1)$$

$$m\ddot{z}(t) + C\dot{z}(t) + ky(t) = -m\ddot{y}(t) + g(t) \quad (2)$$

که در آن $y(t)$ تغییر مکان سیستم سازه‌ای نسبت به پایه‌ی آن، و $z(t)$ تغییر مکان نسبی TMD نسبت به سازه است. ضرایب میرایی و سختی با علامت c و k برای TMD، و C و K برای سیستم سازه اصلی است. $f(t)$ نیروی خارجی وارد بر سازه‌ی اصلی می‌باشد در

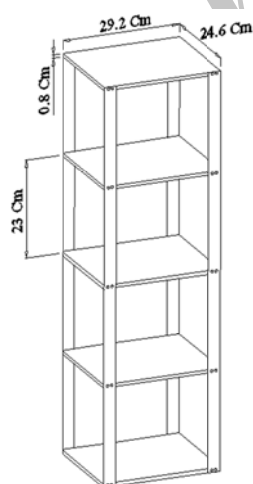
وزن قطعات تقویتی ستون در محل اتصال می‌باشد، به شرح زیر تعیین گردید که در آن m_i جرم طبقه i ام می‌باشد:

$$m_1=4.94 \text{ kg} , m_2=4.925 \text{ kg} ,$$

$$m_3=4.93 \text{ kg} , m_4=5.53 \text{ kg}$$

(۴)

ستون‌ها به صورت یکپارچه و با سطح مقطع 3×0.2 سانتی‌متر و به ارتفاع کل $92/4$ سانتی‌متر می‌باشند. ممان اینرسی این مقطع حول محور ضعیف آن برابر $I_m = 2 \times 10^{-3} \text{ cm}^4$ می‌باشد. علت انتخاب این نوع مقطع، که ممان اینرسی آن در دو جهت اختلاف بسیار زیادی با یکدیگر دارند، این است که بتوان تغییر مکان‌های ایجاد شده در سازه را کاملاً به فرم دوبعدی در نظر گرفت و حتی اگر عدم تقارن اتفاقی در سازه به دلیل تفاوت در سختی اتصالات وجود داشته باشد، به دلیل اختلاف زیاد سختی‌ها در دو جهت بتوان از اثر آن صرف نظر کرد. صفحات کف این قاب از جنس فولاد و دارای ابعاد $24/6 \times 29/2$ سانتی‌متر و ضخامت ۸ میلی‌متر می‌باشد. مشخصات مدل فوق در شکل (۲) آمده است.

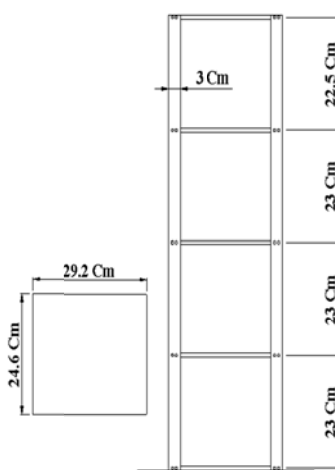


ب) ارتفاع طبقات مختلف و صفحه‌ی فلزی کف

مشخصات بالاتری برای سنجش پاسخ‌های سازه، به‌خصوص در هنگام تشدید مورد نیاز است. لذا با توجه به این مقدمه، مدل مورد بررسی چهار طبقه انتخاب شده است.

از آن‌جاکه مصالح در دسترس مختلفی برای ساخت مدل موجود می‌باشد، برای داشتن مدلی با شکل‌پذیری بالا که بتوان به‌خوبی تغییر شکل‌ها و مودهای ارتعاشی آن را نمایش بدهد و هم‌چنین از لحاظ اجرایی دارای قابلیت تعمیر و تعویض قطعات باشد، جنس مصالح آن از فولاد انتخاب شد و اتصالات آن به صورت پیچی در نظر گرفته شد. به‌منظور بررسی و مدل‌سازی دوبعدی مدل و جلوگیری از وابسته شدن معادلات حرکت در دو جهت مختلف به یکدیگر، پلان مدل متقارن و بدون خروج از مرکزیت بین جرم و سختی در نظر گرفته شد تا در سازه لنگرهای پیچشی به‌وجود نیاید.

با توجه به این نسبت ابعادی، وزن طبقات مدل که شامل وزن صفحه‌ی کف، وزن ستون در تراز طبقه شامل نیمی از ارتفاع طبقه‌ی بالا و نیمی از ستون طبقه‌ی پایین، وزن پیچ‌های اتصال ستون به صفحه‌ی کف و



الف) مدل قاب چهار طبقه

شکل ۲ مدل آزمایشگاهی مورد استفاده در این تحقیق

$$\text{Freq.}=[3.42, 10.25, 16.07, 19.47] \text{ Hz} \quad (6)$$

روش دیگر برای تعیین فرکانس‌های طبیعی سیستم استفاده از روش جاروی فرکانسی است. در این روش، سازه تحت ارتعاش اجباری هارمونیک با محتوای فرکانسی در یک بازه‌ی مناسب که شامل تمام فرکانس‌های طبیعی سیستم باشد، قرار می‌گیرد و با گام‌های مناسبی که خطای اندازه‌گیری فرکانس را تعیین می‌کند، پاسخ حداکثر سیستم در هر گام در حالت پایدار ثبت می‌شود. نتایج پس از دوبار آزمایش و متوسط‌گیری بین نتایج به‌دست آمده از داده‌های تمام طبقات به‌صورت زیر می‌باشد:

$$\text{Freq.}=[3.026, 9.4923, 15.5265, 20.0359] \text{ Hz} \quad (7)$$

به‌طوری‌که از نتایج بر می‌آید، دو روش فوق با یکدیگر انطباق خوبی دارند.

محاسبه‌ی میرایی سازه

ساده‌ترین روش محاسبه‌ی میرایی، استفاده از روش کاهش دامنه می‌باشد. بدین منظور، با اعمال یک تغییرشکل اولیه، مشابه مود اول، و ایجاد ارتعاش آزاد در سیستم، می‌توان مقادیر حداکثر جابه‌جایی‌ها در هر سیکل را اندازه‌گیری با محاسبه‌ی کاهش لگاریتمی آن، میرایی مود اول را به‌عنوان مود غالب، با تقریب مناسبی تعیین کرد. با اندازه‌گیری میرایی بدین روش مقدار $\xi_1=3/3\%$ به‌دست می‌آید. با فرض تساوی میرایی دو مود اول سازه و استفاده از روش رایله برای تعیین ماتریس میرایی [9]، ضرایب تناسب a_0 و b_0 به شرح زیر به‌دست می‌آیند:

$$\begin{Bmatrix} a_0 \\ b_0 \end{Bmatrix} = \frac{2\omega_n\omega_m}{\omega_n^2 - \omega_m^2} \begin{bmatrix} \omega_n & -\omega_m \\ -1/\omega_n & 1/\omega_m \end{bmatrix} \begin{Bmatrix} \xi_m \\ \xi_n \end{Bmatrix} \quad (8)$$

که با استفاده از مقادیر نسبت میرایی و فرکانس مودهای اول و دوم داریم:

محاسبه‌ی سختی استاتیکی قاب

برای تعیین سختی قاب، روش‌های متعددی موجود است. ساده‌ترین روش، استفاده از روابط تحلیلی مثل روش شیب-افت برای تعیین سختی طبقات می‌باشد. اما این روش‌ها به‌دلیل این‌که نیاز به انجام فرضیات ساده‌کننده بسیار زیادی دارند، در کارهای آزمایشگاهی که نیازمند دقت بالایی در محاسبات هستند، مناسب به‌نظر نمی‌رسند. روش دیگر محاسبه‌ی سختی به‌صورت آزمایش استاتیکی و استفاده از روش نرمی می‌باشد. بدین منظور، بار جانبی در تراز بام به‌صورت استاتیکی اعمال می‌شود و به‌وسیله‌ی گیج‌های ساعتی نصب شده روی پایه‌ی ثابت، مقادیر جابه‌جایی طبقات اندازه‌گیری می‌گردد. در این حالت با فرض عملکرد قاب به‌صورت برشی، می‌توان سختی قاب را به‌صورت آزمایشگاهی تعیین نمود که در این تحقیق، از این روش برای تعیین ماتریس سختی قاب استفاده گردید.

در نهایت سختی طبقات و ماتریس سختی قاب در جهت ضعیف آن به‌صورت زیر تعیین گردید:

$$K_1=19.565 \text{ kN/m}, \quad K_2=19.802 \text{ kN/m}$$

$$K_3=19.811 \text{ kN/m}, \quad K_4=25.431 \text{ kN/m}$$

$$K = \begin{bmatrix} 393665 & -198015 & 0 & 0 \\ & 396122 & -198107 & 0 \\ & & 452413 & -254306 \\ & \text{sym} & & 254306 \end{bmatrix} \text{ (N/M)} \quad (5)$$

تعیین فرکانس‌های طبیعی سیستم

با داشتن مقادیر سختی و جرم طبقات و از آن‌جا با تعیین ماتریس‌های سختی و جرم قاب، می‌توان با حل معادله‌ی مقدار ویژه و بردار ویژه، فرکانس‌های طبیعی سیستم را تعیین کرد که عبارتند از:

به صورت زیر [۱۱]:

$$m_T = m_0 \times m_{\text{building}}, k_T = m_T (\beta \omega)^2, \\ c_T = 2 \xi_T \sqrt{m_T k_T} \quad (۱۴)$$

بهینه‌سازی متغیرهای سیستم TMD

در این تحقیق، بهینه‌سازی با استفاده از روش آزمون و خطا صورت گرفته که در ادامه نتایج حاصل ارائه شده است. از آنجایی که هرچه نسبت جرمی بیش‌تر شود کاهش پاسخ‌های سازه نیز بیش‌تر می‌گردد، [2] لذا نسبت جرمی عموماً با در نظر گرفتن محدودیت‌های اجرایی انتخاب می‌گردد. علی‌رغم این، با رسم مقادیر بهینه β و ξ برای نسبت‌های جرمی مختلف، مشاهده می‌شود که در نمودار R-m₀ برای m₀ های بیش از ۴ درصد، افزایش نسبت جرمی تأثیر کم‌تری در کاهش پاسخ طبقه‌ی بام دارد (شکل ۳) و براین اساس نسبت جرمی بهینه برابر با ۴ درصد انتخاب می‌گردد. نمودار معیار عملکرد پاسخ طبقه‌ی بام به‌ازای تغییرات ورودی‌های دو متغیر دیگر در شکل (۴) آمده است. براساس این نمودارها می‌توان چنین نتیجه گرفت که با کاهش میرایی TMD، عملکرد بهتری از آن در برابر تحریکات بار هارمونیک انتظار می‌رود. اما بازه‌ی تغییرات مطلوب برای نسبت فرکانسی β بسیار به یکدیگر نزدیک می‌باشد به‌طوری‌که برای میرایی ۱٪ ضریب β برابر ۰/۹۵، و برای نسبت میرایی ۱۳٪ برابر ۰/۹۳ می‌باشد و در میرایی‌های نزدیک صفر میزان حساسیت پاسخ‌ها نسبت به مقدار β بیش‌تر می‌شود. همان‌طور که نمودارها نشان می‌دهند، کم‌ترین پاسخ تغییرمکان طبقه‌ی بام به‌ازای میرایی صفر به‌دست می‌آید. در این حالت حداقل مقدار R=۰/۱۷ به‌ازای $\beta=۰/۹۶$ به‌دست می‌آید که به معنی کاهش ۸۳/۰۶۷ درصدی پاسخ‌ها می‌باشد.

ساخت سیستم TMD

با توجه به عدم نیاز به میرایی (در تحریک هارمونیک

$$a_0=1.06557 \quad \text{و} \quad b_0=7.67442e-4 \quad (۹)$$

که از آن‌جا با استفاده از مقادیر ماتریس‌های جرم و سختی محاسبه شده در بالا، ماتریس میرایی به صورت زیر به‌دست می‌آید:

$$C = a_0 M + b_0 K \\ = \begin{bmatrix} 25.41 & -19.52 & 0 & 0 \\ & 39.97 & -15.20 & 0 \\ & & 35.64 & -15.20 \\ \text{Sym} & & & 35.48 \end{bmatrix} \quad (۱۰)$$

حل معادلات تحت اثر تحریک تکیه‌گاهی

معادله حرکت سیستم جرم و فنر و دمپر به‌عنوان یک سیستم یک درجه آزادی به صورت $m\ddot{x} + c\dot{x} + kx = -m\ddot{u}_g$ چند درجه آزادی به صورت

$$[M]\{\ddot{x}\} + [C]\{\dot{x}\} + [K]\{x\} = -[M]\{\ddot{u}_g\} \quad (۱۱)$$

می‌باشد که با فرض تحریک پایه به صورت هارمونیک $u_g = u_{0g} \sin \Omega t$ معادله‌ی حرکت مدل در فضای حالت به شکل زیر خواهد شد [10]:

$$\dot{X} = AX + Bu, \quad Y = EX + Du \quad (۱۲)$$

که در آن:

$$\dot{X} = \begin{Bmatrix} \dot{x} \\ \dot{\ddot{x}} \end{Bmatrix}, \quad X = \begin{Bmatrix} x \\ \ddot{x} \end{Bmatrix},$$

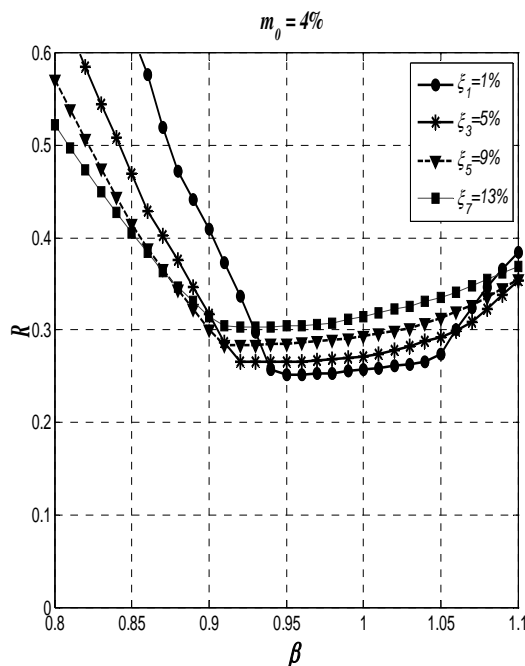
$$A = \begin{bmatrix} 0 & [1] \\ -[M]^{-1}[K] & -[M]^{-1}[C] \end{bmatrix},$$

$$B = \begin{Bmatrix} [0] \\ [1] \end{Bmatrix}, \quad E = ([1] \quad [0]), \quad D = [0], \quad Y = \{x\},$$

$$\{u\} = \{\ddot{u}_g\} \Omega^2 u_{0g} \sin \Omega t$$

(۱۳)

با تعریف مقادیر جرم، سختی، و میرایی TMD



شکل ۴ معیار عملکرد سیستم کنترلی به‌ازای تغییرات متغیرهای سیستم کنترلی

که در نهایت به‌صورت زیر بیان می‌گردد [12]:

$$k = \frac{d^4 G}{8D^3 N} \quad (17)$$

که در آن d قطر مفتول، D قطر حلقه‌ی فنر و N تعداد حلقه‌های فعال در فنر، و G مدول برشی آن می‌باشد. پس از بررسی و مطالعه‌ی حالت‌های مختلف، فنر مورد نیاز انتخاب گردید. بدین ترتیب TMD با مشخصات فوق مطابق شکل (۶) ساخته شد و بر روی سازه (مدل آزمایشگاهی) نصب گردید.

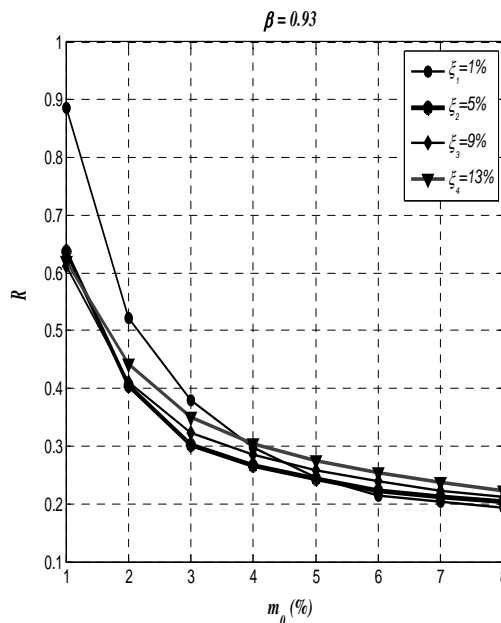
میرایی TMD پس از نصب، به‌کمک ارتعاش آزاد و روش کاهش دامنه اندازه‌گیری شد و مقدار آن برابر $\xi_T = 7/93$ درصد به‌دست آمد. با نصب TMD، با جرم و سختی بهینه شده در مراحل قبل، بر روی سازه و تکرار مجدد محاسبات تئوریک، میزان کاهش پاسخ تغییرمکان پایدار طبقه‌ی بام در فرکانس تشدید سازه بدون سیستم کنترلی به میزان $88/72$ درصد به‌دست می‌آید و طبق این محاسبات، مقدار تغییرمکان حداکثر طبقه‌ی بام باید از $27/83$ میلی‌متر به $3/14$ میلی‌متر کاهش یابد. هم‌چنین تأثیر این سیستم در تبدیل فرکانس تشدید سازه به دو فرکانس، به‌گونه‌ای می‌باشد

پایه) و این‌که نمی‌توان میرایی سیستم TMD را کم‌تر از مقدار میرایی ذاتی آن در نظر گرفت و هم‌چنین حساسیت کم مقادیر β در میرایی‌های بالاتر، مقادیر متغیرهای TMD به‌صورت زیر انتخاب می‌گردند:

$$m_T = m_0 \times m_{\text{building}} = 0.04 \times 19544 = 0.782 \text{ (kg)}$$

$$k_T = m_T (\beta \omega)^2 = 0.782 \times (0.94 \times 19013)^2 = 24970 \text{ (N/m)} \quad (16)$$

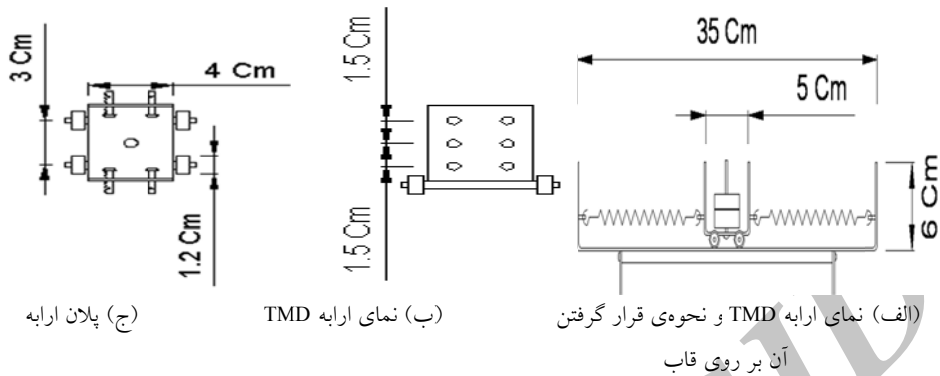
سیستم TMD مورد استفاده در این تحقیق، مطابق شکل (۵) به‌صورت یک ارابه طراحی شد که در هر طرف آن دو فنر به‌صورت موازی قرار گرفته است. چرخ‌های ارابه نیز از نوعی انتخاب شد که کم‌ترین اصطکاک را بین بلبرینگ‌های خود داشته باشد. برای تعیین سختی فنر، از این واقعیت استفاده می‌گردد که تنش در فنرهای مارپیچ در اثر نیروی F وارد به‌وسیله‌ی دو نیروی برشی و پیچشی ایجاد شده در مقطع فنر تحمل می‌شود. تنش پیچشی چه در حالت بازشدن و چه حالت بسته شدن ایجاد می‌شود. مقدار سختی فنر k با استفاده از اصول مکانیک جامدات و قضایای انرژی قابل محاسبه می‌باشد.



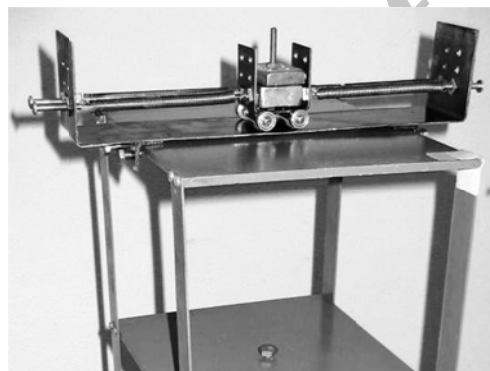
شکل ۵ کاهش تأثیر نسبت جرمی برای مقادیر بالاتر از ۴ درصد

زمانی پاسخ جابه‌جایی طبقه‌ی بام در حالت تحریک با فرکانس تشدید را در دو حالت کنترل شده و کنترل نشده نشان می‌دهد.

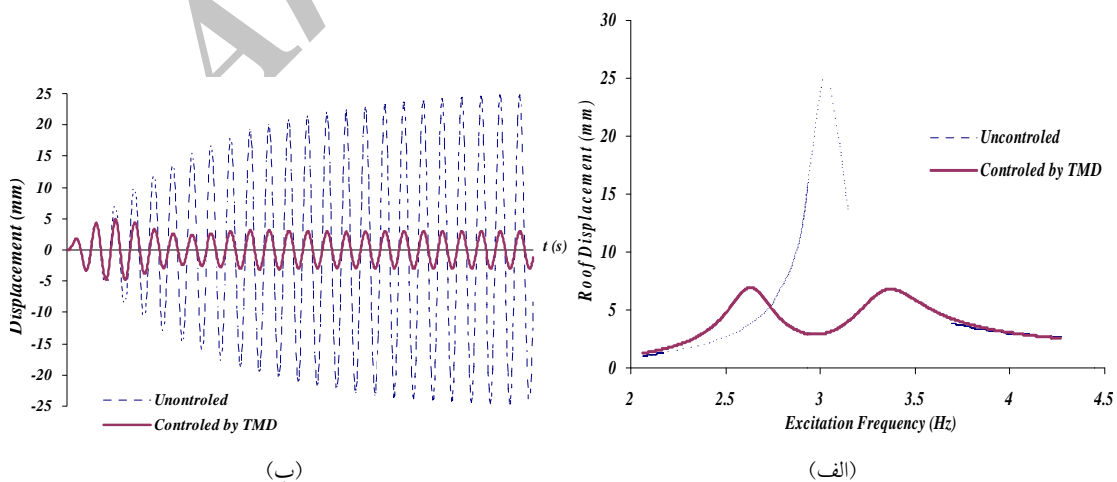
که انتظار می‌رود فرکانس سیستم مرکب حاصل از فرکانس تشدید ۱۳/۱۵ درصد دور شود. شکل (۷) مقایسه‌ی تحلیلی تغییرات فرکانس و هم‌چنین تاریخچه



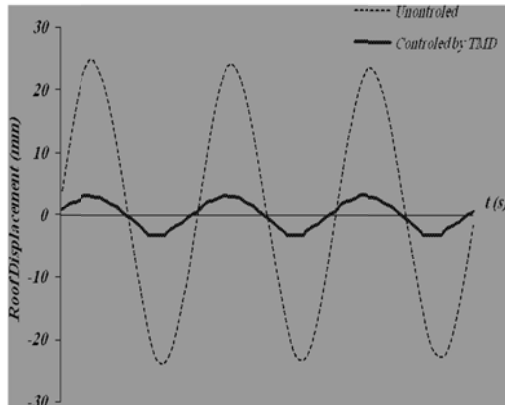
شکل ۵ اربابه TMD و عرصه کف مورد استفاده



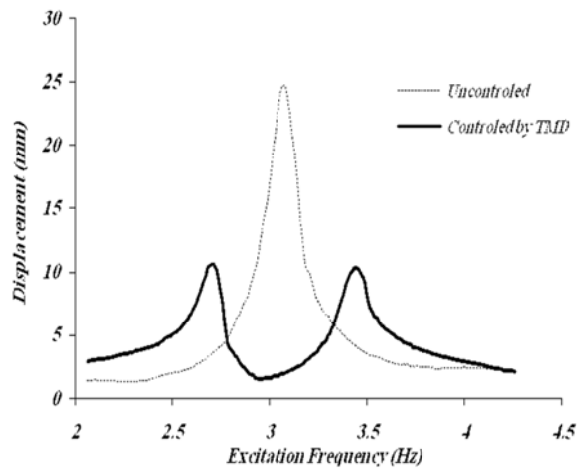
شکل ۶ نصب TMD ساخته شده بر روی طبقه‌ی بام مدل



شکل ۷ مقایسه نتایج تحلیلی (الف) تغییرات فرکانسی و (ب) تاریخچه زمانی پاسخ جابه‌جایی طبقه‌ی بام برای TMD بهینه



(ب)



(الف)

شکل ۸ مقایسه نتایج آزمایشگاهی (الف) تغییرات فرکانسی و (ب) تاریخچه زمانی پاسخ تغییر مکان طبقه‌ی بام برای TMD نصب شده

طراحی شده که برای تحریک هارمونیک پایه بهینه گردیده است، رفتار دینامیکی مدل آزمایشگاهی فوق تحت شتاب‌نگاشت‌های مختلف مورد بررسی تحلیلی قرار گرفت. برای این منظور ۱۱ شتاب‌نگاشت مربوط به زلزله‌های داخلی و ۱۲ شتاب‌نگاشت از زلزله‌های خارجی با محتوای فرکانسی متفاوت انتخاب گردید (جدول ۱). رکوردهای مربوط به شتاب‌نگاشت زلزله‌های خارجی از سایت مؤسسه‌ی تحقیقات لرزه‌ی دانشگاه برکلی [13] و رکوردهای شتاب‌نگاشت زلزله‌های داخلی از سایت مرکز تحقیقات ساختمان و مسکن [14] برداشت شده‌اند.

در ستون آخر جدول (۱) میزان تأثیر سیستم TMD در کاهش حداکثر پاسخ جابه‌جایی طبقه‌ی بام (R-۱) تحت اثر هر کدام از این زلزله‌ها آمده است. اما چیزی که کم و بیش در بیش‌تر زلزله‌ها دیده می‌شود، تأثیر مثبت این سیستم در کاهش پاسخ‌ها می‌باشد. به‌طور کلی، مقدار متوسط کاهش پاسخ تغییر مکان طبقه‌ی بام تحت تأثیر ۲۳ زلزله‌ی فوق حدود ۲۵/۳۷٪ می‌باشد.

نتایج آزمایشگاهی تأثیر سیستم TMD

سیستم TMD ساخته شده بر بام مدل آزمایشگاهی نصب شد، و اقدام به اندازه‌گیری تغییر مکان‌های مدل در اثر ارتعاش پایه‌ی آن گردید. نتایج اندازه‌گیری آزمایشگاهی تغییر مکان‌های سازه پس از نصب TMD نشان می‌دهد که در پاسخ تغییر مکان‌های مدل در طبقه‌ی بام آن (شکل ۸-ب) کاهش برابر با ۸۶/۶ درصد در حالتی که با فرکانس تشدید آن ($f_1 = 3 \text{ Hz}$) تحریک می‌شود، مشاهده می‌گردد که همخوانی بسیار خوبی با نتایج به‌دست آمده از تحلیل را نشان می‌دهد. اثر TMD در تغییر فرکانس مدل نیز در شکل (۸-الف) برای فرکانس‌های تحریک آمده است. همان‌طور که دیده می‌شود سیستم کنترلی توانسته است فرکانس سازه‌ی اصلی را ۱۱/۸۹ درصد از فرکانس تشدید دور کند.

مطالعه‌ی رفتار سیستم TMD طراحی شده در

برابر شتاب‌نگاشت‌های زلزله

به‌منظور مطالعه‌ی عملکرد لرزه‌ای سیستم کنترلی TMD

جدول ۱ مشخصات شتاب‌نگاشت‌های مورد استفاده به همراه میزان کاهش پاسخ جابه‌جایی حداکثر طبقه‌ی بام

| EQ. No. | نام زلزله | ایستگاه | تاریخ وقوع | مولفه | PGA *g | ۱- R (%) |
|---------|--------------|-------------------------|------------|-------|--------|----------|
| ۱ | Chi-Chi | WNT | 1999-9-20 | E-W | ۰/۷۵ | ۲۰/۸۴ |
| ۲ | Coalinga | Oil City | 1983-7-22 | N-S | ۰/۷۲ | ۴۲/۷۸ |
| ۳ | Duzce | Bolu | 1999-11-12 | E-W | ۰/۷۷ | ۳۳/۵۹ |
| ۴ | El-Centro | Irrigation Distriot | 1940-5-19 | N-S | ۰/۳۵ | ۱۸/۰۹ |
| ۵ | Hachinohe | Takochi-Oki | 1968-5-16 | N-S | ۰/۲۳ | ۲۷/۶۶ |
| ۶ | Superstition | Superstition Mtn Camera | 1987-11-24 | N-S | ۰/۷۹ | ۳۷/۳۱ |
| ۷ | Kobe | KJMA | 1995-1-16 | N-S | ۰/۸۲ | ۳۹/۸۸ |
| ۸ | Parkfield | Cholam Shandon | 1966-6-28 | N-S | ۰/۳۸ | ۴۰/۳۸ |
| ۹ | Nahanni | Site 1 | 1985-12-23 | N-S | ۱/۰۶ | ۵۱/۶۶ |
| ۱۰ | Northridge | Sylmar County Hospital | 1994-1-17 | N-S | ۰/۸۴ | ۳۱/۰۷ |
| ۱۱ | Morgan Hill | Coyote Lake Dam | 1984-4-24 | N-S | ۰/۹۷ | -۴/۹۶ |
| ۱۲ | Loma Prieta | LGPC | 1989-10-18 | N-S | ۰/۷۸ | ۲۴/۲۰ |
| ۱۳ | اردکول | بسک آباد | ۱۳۷۶/۲/۲۰ | L | ۰/۱۳ | ۱۹/۸۲ |
| ۱۴ | بم | بم | ۱۳۸۵/۱۰/۵ | L | ۰/۸۱ | ۳۵/۵۶ |
| ۱۵ | پل آبگینه | ده بالا | ۱۳۷۸/۸/۹ | L | ۰/۰۶ | -۱۵/۸۹ |
| ۱۶ | منجیل | آب بر | ۱۳۶۹/۳/۳۰ | L | ۰/۶۴ | ۳۴/۶۹ |
| ۱۷ | زنجیران | زنجیران | ۱۳۷۳/۳/۳۰ | L | ۰/۹۲ | ۲۸/۹۳ |
| ۱۸ | سرعین | کریق | ۱۳۷۵/۱۲/۱۰ | L | ۰/۶۳ | -۵/۶۵ |
| ۱۹ | صالح آباد | صالح آباد | ۱۳۷۸/۸/۱۸ | L | ۰/۳۴ | -۳۵/۳۶ |
| ۲۰ | طبس | طبس | ۱۳۵۷/۶/۲۵ | L | ۰/۸۴ | ۱۲/۳۷ |
| ۲۱ | کره بس | بالا ده | ۱۳۷۸/۲/۱۷ | L | ۰/۲۹ | ۵۲/۱۳ |
| ۲۲ | گرم خان | آشخانه | ۱۳۷۵/۱۱/۱۶ | L | ۰/۱۱ | ۳۸/۴۴ |
| ۲۳ | ناقان | ناقان | ۱۳۵۶/۱/۱۷ | L | ۰/۹۱ | ۲۶/۲۱ |

نتیجه‌گیری

تحت تحریکات هارمونیک پایه کاهش دهد. پس از بهینه‌یابی پارامترهای طراحی برای جرم همساز، براساس تحریک هارمونیک پایه و جهت کنترل و کاهش تغییر مکان حداکثر طبقه‌ی بام، TMD طراحی شده ساخته و بر روی مدل نصب گردید و پاسخ‌های اندازه‌گیری شده تحت تحریک هارمونیک پایه بر روی میز لرزه با نتایج حاصل از تحلیل مقایسه گردید. علاوه بر مطالعه‌ی عملکرد سیستم TMD در برابر تحریکات هارمونیک پایه، عملکرد این سیستم در برابر ۲۳ شتاب‌نگاشت زلزله‌های مختلف نیز به صورت تحلیلی

در این تحقیق، عملکرد سیستم کنترل غیر فعال TMD به صورت تجربی مورد مطالعه قرار گرفت. برای این منظور، یک مدل آزمایشگاهی به صورت یک قاب فلزی سه‌بعدی چهار طبقه با مقیاس ۱:۱۲ ساخته شد و مشخصات دینامیکی آن هم به صورت تحلیلی و هم به صورت آزمایشگاهی و با استفاده از تعدادی آزمایش‌های استاتیکی تعیین گردید. سپس، سیستم کنترل TMD که شامل یک جرم، فنر و میراگر می‌باشد به گونه‌ای طراحی گردید که بتواند پاسخ‌های مدل را

فرکانس تشدید سازه از فرکانس تحریک $11/89\%$ بود که در حالت تئوری مقدار آن $13/15\%$ تعیین شده بود.

۳- کارایی سیستم کنترلی TMD در کاهش پاسخ سازه در برابر تحریکات زلزله بستگی بسیار زیادی به محتوای فرکانسی و سایر مشخصات زلزله‌ای دارد که مورد بررسی قرار می‌گیرد. به طوری که عملکرد آن در کاهش پاسخ‌ها بسیار متغیر می‌باشد و می‌تواند از کاهش پاسخ $52/13\%$ درصدی در زلزله‌های بم کرمان و کره‌بس فارس تا تأثیر منفی در کاهش پاسخ و افزایش $35/36\%$ درصدی پاسخ در زلزله صالح آباد خراسان متغیر باشد. ولی این سیستم قادر است پاسخ مدل مورد نظر را در برابر 23% زلزله‌ی مورد مطالعه به‌طور متوسط 25% کاهش دهد.

مورد مطالعه قرار گرفته در از مطالعات صورت گرفته در این تحقیق نتایجی حاصل شد که خلاصه‌ی آن به شرح زیر می‌باشد:

۱- با افزایش جرم TMD و ثابت نگهداشتن دیگر متغیرهای این سیستم، کاهش بیشتری در پاسخ جابه‌جایی طبقه‌ی بام مشاهده گردید که علت آنرا می‌توان در افزایش اثر جرم همساز در دور نمودن سازه از فرکانس تشدید دانست.

۲- استفاده از میراگر جرم همساز (سیستم TMD) برای کنترل ارتعاشاتی که دارای یک فرکانس غالب در نزدیکی فرکانس اصلی سازه می‌باشند، نتایج بسیار مطلوبی را به‌دست می‌دهد. به طوری که پاسخ سازه برای تحریک هارمونیک با فرکانسی برابر فرکانس اصلی مدل را می‌تواند تا $86/6\%$ کاهش دهد که البته نتایج تحلیل کاهش $88/72\%$ را پیش‌بینی می‌نمود. این نتایج برای توان دور کردن

مراجع

1. Datta, T.K., "Control of Dynamic Response of Structures, Symposium on Emerging Trends in Vibration and Noise", Engg, pp. 18-20, (1996).
2. Constantinou, M.C., Soong, T.T., Dargush, G.F., "Passive Energy Dissipation Systems in Structural Engineering", John Wiley & Sons, New York, (1997).
3. Villaverde, R., "Reduction in Seismic Response with Heavily-Damped Vibration Absorbers", Earthquake Engineering and Structural dynamics, Vol. 13, pp. 33-42, (1985).
4. Villaverde, R., "Seismic Control of Structures with Damped Resonant Appendages", Proc. of 1st world conf. on structural control, Los Angeles, California, USA, pp 113-119, (1994).
5. Martin, S.C., Villaverde, R., Passive, "Seismic Control of Cable-Stayed Bridges with Damped Resonant Appendages", Earthquake Eng. & Structural dyn., Vol. 24, pp. 233-246, (1995).
6. Koyama, L.A., Villaverde, R., "Damped Resonant Appendages to Increase Inherent Damping in Buildings", Earthquake Engineering and Structural dynamics, Vol. 22, pp. 491-507, (1993).
7. Pinkaew, T., Lukkunaprasit, P., Chatupote, P., "Seismic Effectiveness of TMDs for Damage Reduction of Structures", Engineering Structures, Vol. 25, pp. 39-46, (2003).
8. Sadek, F., Mohraz, B., Taylor, A.W., Chung, R.M., "A method of Estimating the Parameters of TMDs for Seismic Application", Earthquake Engineering and Structural dynamics, Vol. 26, pp. 617-

- 635, (1997).
9. Clough, R., Penzin, J., "Dynamics of Structures", 2nded., McGraw-Hill, (1993).
 10. Ogata, K., Modern, "Control Engineering", Engle wood Cliffs, Prentice-Hall, (1982).
 ۱۱. اکبری آقبلاغ، م.، پورزینلی، س.، فلاح، ن.، "بررسی تحلیلی و آزمایشگاهی استفاده از سیستم کنترلی TMD جهت کنترل ارتعاشات ساختمان‌ها در برابر زلزله"، پایان‌نامه‌ی کارشناسی ارشد، دانشگاه گیلان، (۱۳۸۶).
 12. Shigley, J. E., Mischke, C.R., "Mechanical Engineering Design", McGraw-Hill, (1992).
 13. <http://Peer.Berekeley.edu/NGA/Earthquaks.html>.
 14. <http://www.BHRC.ir>.

Archive of SID